

論文

高速 mB₁Z 傳送路符號에 關한 研究

正會員 俞 奉 善* 正會員 元 東 豪** 正會員 金 炳 賛***

A Study on a High-Speed mB₁Z Transmission Line Code

Bong Sun YOO*, Dong Ho WON**, Byung Chan KIM*** Regular Members

要約 本論文에서는 高速光 디지털 傳送시스템과 같은 高速 unipolar信號 傳送시스템에 適合한 새로운 mB₁Z 傳送路符號를 提案하였다.

mB₁Z符號는 情報信號系列 傳送速度를 $\frac{(m+1)}{m}$ 만큼 速度變換한 後 m 비트마다 補助 서버스 비트 하나를 插入한信號系列와 出力傳送路符號系列의 한 비트를 遲延시킨 信號系列을 Exclusive NOR하여 符號化하기 때문에 redundancy를 줄일 수 있을 뿐만 아니라 復號回路 역시 간단하게 構成할 수 있다.

mB₁Z符號는 同符號連續數를 $(m+1)$ 비트 이내로 抑壓할 수 있으며 傳送路符號系列의 마크率이 $\frac{1}{2}$ 이기 때문에 電力스펙트럼에 存在하는 高低周波 成分들을 抑壓할 수 있다.

ABSTRACT This paper is to propose a new line code suitable for a high speed unipolar pulse transmission system, such as a high speed optical digital transmission system.

The original information speed can be converted into the transmission speed $\frac{(m+1)}{m}$ by the speed converter.

Then this code, named mB₁Z code, is generated by means of an Exclusive NOR between the bit stream inserted a space into every m bits and the bit stream delayed by the time slot allocated a single bit at the output coded sequence. Therefore, a mB₁Z code can reduce a redundancy in the line code for transmission and its conversion circuits can be devised easily. The mB₁Z code can also suppress undesirable long consecutive identical digits and make line code balance in the mark and space ratio. Therefore, high frequency and low frequency components in power spectrum of a mB₁Z code can be suppressed.

I. 序論

* , ***成均館大學校 工科大學 電子工學科

Dept. of Electronic Engineering, Sung Kyun Kwan
University Seoul 110, Korea.

**成均館大學校 工科大學 情報工學科

Dept. of Information Engineering, Sung Kyun Kwan
University Seoul 110, Korea.

論文番號 : 87-35 (接受 1987. 3. 5)

情報傳達을 위한 디지털 傳送시스템이 經濟化, 大容量화함에 따라 効率的으로 情報을 傳送할 수 있는 傳送路符號 選擇이 重要한 問題가 되고 있다.

특히, 光強度變調를 利用한 디지털傳送方式과 같이 傳送狀態를 두가지로만 傳送해야 하는 2值 unipolar 信號系列 傳送시스템에서는 同符號連續 (consecutive identical digits)에 의한 影響이 크기 때문에 傳送路符號 選擇은 대단히重要하다.^{(1),(2),(3)}

이와 같은 2值 unipolar 信號系列 傳送시스템 傳送路符號 選擇時에는 傳送시스템의 要求條件과 더불어 B.S.I(Bit Sequence Independence)條件 등을 考慮해야 한다.⁽⁴⁾

현재까지 提案된 傳送路符號는 여러가지 있으나 크게 블럭 變換符號인 mBnB符號와 補助 서어비스 비트 插入符號인 mB1A(m binary with one auxiliary)符號로 나눌 수 있다.^{(5),(6),(7)}

mBnB符號는 m비트 블럭을 n비트로 變換하는 符號로서 특히 $m=1, n=2$ 인 1B2B 符號에는 C-MI, DMI符號 등이 있다.^{(5),(9)}

이들 1B2B符號는 他 符號方式보다 적은 2~3 비트의 同符號連續數를 가지며 回路構成도 容易할 뿐 아니라 마크率이 $\frac{1}{2}$ 로 符號 平衡性도 良好하다.

그러나 傳送速度가 2 배로 上昇하여 符·復號器의 高速動作이 문제가 되기 때문에 高速傳送에는 不適合하다.

m 이 2보다 큰 경우의 mBnB符號의 傳送速度上昇率은 1B2B符號보다 훨씬 낮아지만 符·復號器回路構成은 매우複雜하다.

따라서 1B2B符號와 마찬가지로 mBnB符號($m \geq 2$) 역시 高速傳送에는 不適合하다.

한편, 서어비스 비트 插入符號인 mB1A 符號는 m비트마다 補助 서어비스 비트 하나를 插入하는 方式으로 PMSI, mB1P, mB1C, DmB1M 符號 등이 있다.^{(8),(9),(10),(11)}

특히, 最大同符號連續數가 $(m+1)$ 비트인 mB1C符號는 插入補助 서어비스 비트 數가 적어 Redundancy 上昇率이 낮고, 傳送速度 上昇率도 $\frac{(m+1)}{m}$ 로 높지 않아 2值信號系列 高速情報傳送에 매우適合한 傳送路符號方式이긴 하나, $(m+1)$ 번째 비트에 補助 서어비스 비트 하나를 插入하기 위하여 m번째 비트의 狀態를 항상 檢查해야 하므로 符號器回路構成이 複雜하다는 短點이 있다.

따라서 本 論文에서는 高速情報傳送이 可能하고 入力情報信號系列과 獨립적으로 補助 서어비스 비트를 $(m+1)$ 비트마다 “space”를 插入시킴으로써 符號變換回路를 간단하게 構成할 수 있는 mB1Z(m Binary with one Zero)符號를 提案하여 傳送特性評價時 重要한 要素가 되는 電力스펙트럼, 마크率, redundancy, 에러檢出特性, 傳送速度上昇率, 그리고 傳送路 에러 監視法에 관하여 調査研究하였다.

II. mB1Z符號

II - 1. 傳送路符號

디지털 傳送시스템에서의 傳送信號狀態를 多值로 하는 것은 大量의 情報傳達이라는 面에서는 바람직하지만 傳送시스템 素子의 高速性과 더욱 優秀한 狀態變化 識別機能이 必要하기 때문에 대부분의 디지털 傳送시스템에서는 2值 unipolar 信號系列를 使用하고 있다.

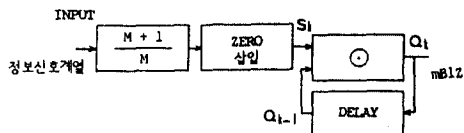
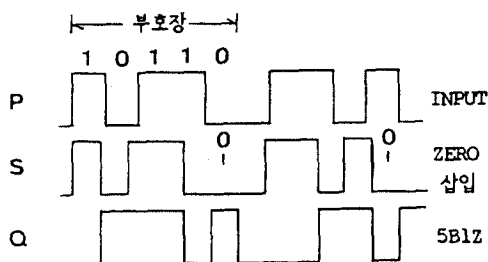
그러나 2值 unipolar 信號系列의 傳送路符號는 多值信號系列의 傳送路符號보다 同符號가 連續되는 경우가 많기 때문에 受信側에서 timing情報를 抽出하기가 어렵다.⁽⁵⁾

따라서 2值 unipolar 信號系列 傳送路符號選擇時에는 다음과 같은 B.S.I.條件과 傳送시스템要求條件들을 考慮해 주어야 한다.^{(4),(9)}

- 1) 同符號連續數가 적어야 한다.
- 2) Frame 同期信號에 影響을 미치지 않아야 한다.
- 3) 符·復號變換器回路構成이 簡單하여야 한다.
- 4) 傳送中인 符號系列에서 容易하게 timing情報를 얻을 수 있어야 한다.
- 5) 符·復號化時 에러發生이 없어야 한다.
- 6) 傳送速度增加率이 적어야 한다.

II - 2. mB1Z符號構成

II - 1節에 記述한 B.S.I.條件과 傳送시스템要求條件들을 만족시키는 mB1Z符號의 block diagram은 그림1과 같으며, 그림2는 mB1Z符號中 $m = 5$ 인 5B1Z符號의 timing diagram을 나타낸 것으로 이들 그림으로부터 일반적인 mB1Z符號의 block diagram의 動作을 說明해 보면 다음

그림 1 mB1Z 부호기의 블록도
Block diagram of mB1Z coder.그림 2 5B1Z 부호기의 신호계열
Signal sequence of 5B1Z coder.

과 같다.

$\frac{(m+1)}{m}$ 速度變換器와 補助 서어비스 비트 插入器에 의해 入力情報信號系列 P는 다섯번째 비트와 여섯번째 비트 사이에 “space”가 插入되어 S_k 信號가 되고 S_k 信號는 遲延素子에 의하여 出力符號 Q_k 를 한 비트 遲延시킨 $Q_{(k-1)}$ 信號와 Exclusive NOR에 入力되어 5B1Z 傳送路符號가 된다.

따라서 mB1Z 符號變換 後 信號系列 Q_k 는 式 (1)과 같이 表示할 수 있다.

$$Q_k = Q_{(k-1)} \odot S_k \quad (1)$$

단, S_k , Q_k 는 K번째 비트를 意味하며 \odot 는 Exclusive NOR를 意味한다.

mB1Z 符號 Q_k 는 遲延素子의 初期值에 따라 “mark”, “space” 狀態가 反轉되며, 그림 2는 初期值을 “space”으로 한 경우이다.

mB1Z 符號의 $(m+1)$ 번째 비트 $Q_{(m+1)}$ 은 出力符號 $Q_{(m+1)}$ 를 한 비트 遲延시킨 Q_m 과 항상 “space”인 $S_{(m+1)}$ 를 Exclusive NOR한 값이므로 $Q_{(m+1)}$ 을 수식으로 表示하면 다음과 같다.

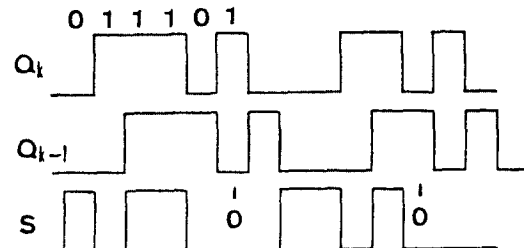
$$\begin{aligned} Q_{(m+1)} &= Q_m \odot S_{(m+1)} \\ &= Q_m \odot 0 \\ &= \bar{Q}_m \end{aligned} \quad (2)$$

따라서 式(2)로부터 mB1Z 傳送路符號의 m 번째 비트와 $(m+1)$ 번쨰 비트 사이에는 항상 狀態變化가 發生하므로 最大同符號連續數는 $(m+1)$ 비트로 抑壓됨을 알 수 있다.

한편, 受信側에서의 復號過程은 式(1)을 差分變換함으로써 쉽게 알 수 있다.

$$S_k = Q_k \odot Q_{(k-1)} \quad (3)$$

그림 3에서 보는 바와 같이 受信한 5B1Z 符號 Q_k 와 Q_{k-1} 를 한 비트 遲延시킨 $Q_{(k-1)}$ 을 Exclusive NOR하여 S 信號를 얻은 後, 그 S 信號의 $(m+1)$ 번쨰 비트를 除去하면 送信側 情報信號系列 P를 간단하게 復號化할 수 있다.

그림 3 5B1Z 복호기의 신호계열
Signal sequence of 5B1Z decoder.

II - 3. mB1Z 符號器와 復號器

情報信號系列를 直列信號로 傳送할 경우 frame 同期信號가 必要하다.

따라서 mB1Z 符號를 符號化할 때 同期信號 비트와 符號變換 補助 서어비스 비트를 동시에 插入하는 方法을 생각할 수 있으나, frame 同期信號 비트는 이미 插入되어 있는 것으로 看做하고 mB1Z 符號變換 過程만을 考慮하였으며 說明을 간단히 하기 위하여 $m=5$ 인 5B1Z 符號器를 構成하였다.

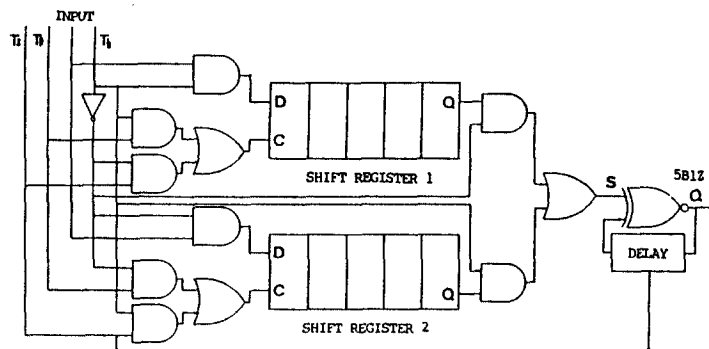


그림 4 mB 1Z 부호기 ($m = 5$)
mB 1Z coder ($m = 5$).

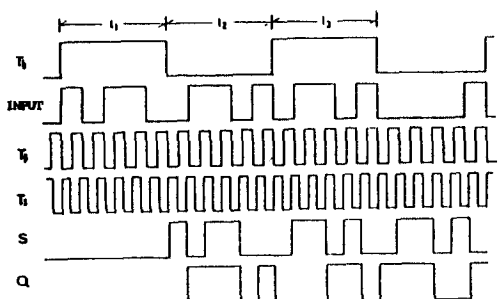


그림 5 mB 1Z 부호기의 보조신호 계열 ($m = 5$).
Timing sequence of auxiliary signal of mB 1Z coder ($m = 5$).

成하기로 한다.

5B1Z 符號器 回路는 그림 4 와 같으며 入力情報系列의 다섯 비트마다 補助 서서비스 비트 “space”를 插入하기 위해서는 回路에서와 같이 5 비트 SHIFT REGISTER가 必要하며 이 SHIFT REGISTER를 動作시키기 위해서는 그림 5 와 같은 補助信號 T_b 의 周期는 入力情報系列 P의 bit time slot의 2m倍이며, T_p 및 T_s 의 pulse數는 각각 T_b 한 周期에 2m, 2($m+1$) 개이다.

P 를 그림 4 의 入力端子에 入力시키면 t_1 時間 동안 T_b 와 T_p 가 P 의 처음 다섯 비트를 SHIFT

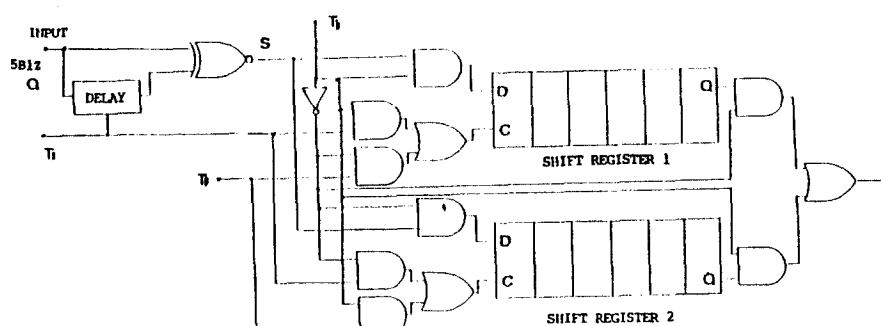


그림 6 mB 1Z 부호기 ($m = 5$)
mB 1Z decoder ($m = 5$).

REGISTER 1에 저장시킨다.

t_2 時間 동안에는 T_b 와 T_p 가 P의 다음 다섯비트를 SHIFT REGISTER 2에 저장시킴과 동시에 T_b 와 T_s 에 의하여 SHIFT REGISTER 1에 저장되어 있던 다섯 비트에 “space”을挿入하여 여섯 비트를 出力시킨다.

t_3 時間은 t_1 과 같은 動作을 反復하며 SHIFT REGISTER 2에 저장되어 있던 다음 다섯 비트에 “space”를挿入하여 出力시킨다.

각 SHIFT REGISTER 出力信號는 OR Gate에 의해 S 信號로 變換되어 遲延素子 出力과 함께 Exclusive NOR에 入力되어 符號長 6 비트의 5B1Z 傳送路符號가 된다.

受信側 復號器는 符號器의 逆過程으로 構成할 수 있으며, 그 回路는 그림 6과 같다.

여기서 T_b , T_s , T_p 는 入力側의 信號와 同一해야 하므로 受信側에서 비트同期回路에 P.L.L.을 건 信號와 復號된 信號系列의 “space” 위치에 따라 同期發振된 信號로부터 T_b , T_s , T_p 를 얻을 수 있다.

III. mB1Z 符號의 特性

III - 1. mB1Z 符號의 마크率

傳送되어온 傳送路符號系列의 마크率에 의한 受信側에서의 影響 中 가장 큰 것은 受信信號系列로부터 timing 情報를 抽出하는 것이라 할 수 있다.

이러한 傳送路符號系列의 마크率의 變動에 따른 特性을 간략하게 알아보면 다음과 같다.

일반적으로 入力信號의 마크率이 $\frac{1}{2}$ 일 때는 同符號連續數가 減小하기 때문에 良好한 timing jitter 抑壓特性을 나타내는 반면에 入力信號의 마크率이 $\frac{1}{2}$ 보다 크거나 혹은 작을 경우에는 “mark” 또는 “space”的 同符號連續數가 增加하므로 timing 情報 抽出, 維持가 어려워지며 따라서 timing jitter가 增加한다.^{(6),(9)}

그러나 本 論文에서 提案한 mB1Z 符號는 Exclusive NOR에 의하여 Exclusive NOR의 入力情報信號系列의 마크率과 관계없이 最大同符號連續數가 $(m+1)$ 비트로 抑壓되며 마크率이 $\frac{1}{2}$ 이

기 때문에 timing 抽出이 容易해진다.⁽⁹⁾

mB1Z 符號의 마크率이 $\frac{1}{2}$ 이라는 것을 수식으로 誘導해보면 다음과 같다.

마크率이 $\frac{1}{2}$ 이라는 것을 誘導하기 위해서는 우선 mB1Z 符號의 信號 흐름圖를 式(1)에 의하여 나타내야 한다.

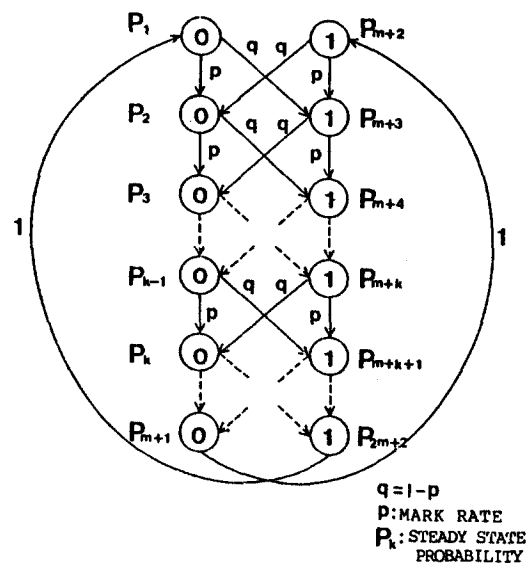


그림 7 mB1Z 부호의 신호 흐름도
Signal flow graph of mB1Z code.

즉 S_k 가 “mark”일 경우 Q_k 는 $Q_{(k-1)}$ 의 符號와 同符號가 되며, S_k 가 “space”일 경우에는 Q_k 와 $Q_{(k-1)}$ 의 符號는 서로 補符號가 된다.

위의 過程을 그림 7과 같이 나타낼 수 있으며 이것을 수식으로 나타내면

$$P_k = p \cdot P_{(k-1)} + (1-p) \cdot P_{(m+k)} \quad (4)$$

$$P_{(m+k+1)} = p \cdot P_{(m+k)} + (1-p) \cdot P_{(k-1)} \quad (5)$$

$$P_{(m+1)} = P_{(m+2)} \quad (6)$$

$$P_{(2m+2)} = P_1 \quad (7)$$

이다.

여기서 k 는 $2 \leq k \leq (m+1)$ 이며, P_k 는 狀態 k 的 定常狀態 確率이며, p 는 情報信號系列의 마크率이다.

式(4)에 $k = 2, 3, 4 \dots$ 을 逐次代入하여 P_k 를 구해 보면

$$P_2 = p \cdot P_1 + (1-p) \cdot P_{(m+2)} \quad (8)$$

$$P_3 = p \cdot P_2 + (1-p) \cdot P_{(m+3)}$$

$$= p^2 \cdot P_1 + p \cdot (1-p) \cdot P_{(m+2)} \\ + (1-p) \cdot P_{(m+3)} \quad (9)$$

$$\vdots \quad \vdots \\ P_k = p^{(k-1)} \cdot P_1 + p^{(k-2)} \cdot (1-p) \cdot P_{(m+2)} \\ + p^{(k-3)} \cdot (1-p) \cdot P_{(m+3)} + \dots \\ + (1-p) \cdot P_{(m+k)} \quad (10)$$

가 되며 같은 方法으로 $P_{(m+k+1)}$ 을 구해보면 式(13)과 같다.

$$P_{(m+3)} = p \cdot P_{(m+2)} + (1-p) \cdot P_1 \quad (11)$$

$$P_{(m+4)} = p \cdot P_{(m+3)} + (1-p) \cdot P_2 \\ = p^2 \cdot P_{(m+2)} + p \cdot (1-p) \cdot P_1 \\ + (1-p) \cdot P_2 \quad (12)$$

$$\vdots \quad \vdots \\ P_{(m+k+1)} = p^{(k-1)} \cdot P_{(m+2)} + p^{(k-2)} \cdot (1-p) \cdot \\ P_1 + p^{(k-3)} \cdot (1-p) \cdot P_2 + \dots + (1-p) \cdot \\ P_{(k-1)} \quad (13)$$

式(4)와 (5)로부터

$$P_k - P_{(m+k+1)} = (1-2p) \cdot (P_{(m+k)} - P_{(k-1)}) \quad (14)$$

얻을 수 있으며, 式(10)과 (13)으로부터

$$P_k - P_{(m+k+1)} = p^{(k-1)} \cdot (P_1 - P_{(m+2)}) + \\ \{p^{(k-2)} \cdot (1-p)\} \cdot (P_{(m+2)} - P_1) + \\ \{p^{(k-3)} \cdot (1-p)\} \cdot (P_{(m+3)} - P_2) + \dots + \\ (1-p) \cdot (P_{(m+k)} - P_{(k-1)}) \quad (15)$$

얻을 수 있다.

따라서 式(14)와 (15)로부터

$$(1-2p) \cdot (P_{(m+k)} - P_{(k-1)}) = p^{(k-1)} \cdot \\ (P_1 - P_{(m+2)}) + p^{(k-2)} \cdot (1-p) \cdot (P_{(m+2)} - P_1) \\ + p^{(k-3)} \cdot (1-p) \cdot (P_{(m+3)} - P_2) + \dots \\ + (1-p) \cdot (P_{(m+k)} - P_{(k-1)}) \quad (16)$$

이며, 式(16)은 항상 成立해야 하므로

$$P_1 = P_{(m+2)}, P_2 = P_{(m+3)}, \dots, P_{(m+k)} \\ = P_{(k-1)} \quad (17)$$

이다.

따라서

$$P_k = P_{(m+k+1)} \quad \text{for } 1 \leq k \leq (m+1) \quad (18)$$

이다.

情報信號系列의 마크率 p 와는 獨立的으로 “mark”와 “space”的 發生할 確率은 항상 같다는 것을 式(18)로부터 알 수 있으며, 符號變換後 마크率이 $p = \frac{1}{2}$ 이라는 것도 알 수 있다.

III-2. mB1Z 符號의 電力 스펙트럼 特性

低域遮斷에 대한 傳送路符號의 強度, 傳送帶域, timing 情報의 抽出과 같은 特性들을 分析할 수 있는 傳送路符號系列의 電力 스펙트럼은 일반적으로 離散成分과 連續成分으로 나누어 생각할 수 있다⁽³⁾.

本節에서는 定常確率過程인 mB1Z 符號列의 電力 스펙트럼을 離散成分 $S_d(f)$ 와 連續成分 $S_c(f)$ 로 나누어 mB1Z 符號의 特性을 調査한다.

III-2-1. 離散成分 $S_d(f)$ 的 算出

mB1Z 符號의 離散電力 스펙트럼 成分 $S_d(f)$ 는 다음과 같이 算出할 수 있다.

$$S_d(f) = \sum_{n=-\infty}^{\infty} C_n \cdot C_n^* \delta\left(f - \frac{n}{(m+1)T_0}\right) \quad (19)$$

여기서 C_n 은

$$C_n = \frac{1}{(m+1)T_0} \sum_{i=1}^N P_i \cdot G_i(nf_0) \quad (20)$$

이여, T_0 는 clock 周期, N 은 符號波形의 數 ($N = 2^m$), $G_i(nf_0)$ 는 符號波形 $G_i(t)$ 의 Fourier 變換 命, 즉,

$$G_i(nf_0) = \int_{-\infty}^{\infty} G_i(t) e^{-j2\pi n f_0 t} dt \quad (21)$$

for $i = 1, 2, 3, \dots, 2^m$

이여, P_i 는 i 번째 pulse pattern $G_i(t)$ 가 發生 할 確率이다.

그림 7에서 각각의 狀態가 發生 할 確率 P_i 은 式(4)와 (18)에 의하여 모두 같다는 사실을 알 수 있다.

$$P_1 = P_2 = \dots = P_m = P_{m+1} = \dots = P_{2m+2} \quad (22)$$

이 結果式(22)을 式(19)에 代入하여 2^m 개의 모든 符號波形에 대하여 Fourier 變換하면, 그림 8과 같아 mB1Z 符號의 離散電力 스펙트럼은 $f = 0$ 인 直流成分만을 除外하고 항상 “0”임을 알 수 있다.

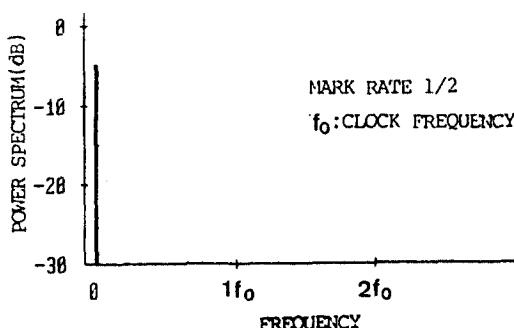


그림 8 mB1Z 부호의 이산전력 스펙트럼
Discrete power spectrum of mB1Z code.

$$S_d(f) = 0 \quad (23)$$

단, $f = 0$ 일 때 $S_d(f) \neq 0$ 이다.

즉, mB1Z 符號의 마크率이 $\frac{1}{2}$ 인 관계로 $\frac{f_0}{(m+1)}$

근방에서 電力 스펙트럼상에 harmonic spectra 成分이 存在하지 않는다.

III - 2 - 2. 連續成分 $S_c(f)$ 의 算出

mB1Z 符號의 連續電力 스펙트럼成分 $S_c(f)$ 은 mB1Z 符號의 信號 흐름圖, 그림 7로부터 遷移確率行列과 出力符號行列을 決定함으로써 Computer simulation이 容易한 Yasuda와 Inose의 Algorithm⁽¹²⁾을 利用하여 算出하였다.

算出한 mB1Z 符號의 正規化 連續電力 스펙트럼 그림 9는 mB1Z 信號 흐름圖와 式(22)에 의하여 마크率 $p = \frac{1}{2}$ 일 때의 mB1Z 符號의 連續電力 스펙트럼과 一致함을 알 수 있었다.⁽⁹⁾

이 그림으로부터 高·低周波 成分들이 많이 抑壓됨을 알 수 있으며, 특히 $m=1$ 인 경우에는 低周波 成分이 거의 없다는 것을 알 수 있다.

또 마크率이 $\frac{1}{2}$ 인 mB1Z 符號의 特性에 의하여 $\frac{1}{2}T_0$ 부분에서 電力 스펙트럼이 增加함을 알 수 있으며, m 이 增加함에 따라 각각의 블럭내의 “sp-

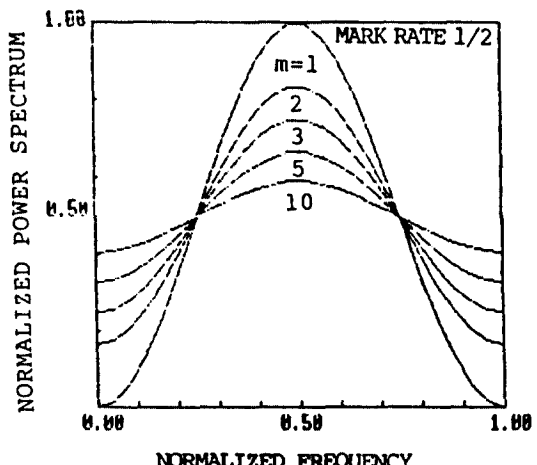


그림 9 mB1Z 부호의 연속전력 스펙트럼
Continuous power spectrum characteristics of mB1Z code.

ace”와 “mark”的相關이 적어 random系列의 스펙트럼分布에近接함을 또한 알 수 있다.

III - 3. mB1Z 符號長과 Redundancy

信號의長距離傳送에는 S/N比劣化로 반드시中繼器가必要하며 그中繼器의特性은傳送中인線路信號의種類와狀態에 따라變化한다.

디지털信號를傳送하는 경우 同符號連續으로 인하여許容符號干擾量, 中繼器 eye pattern, 識別level變動 등이影響을 받는다.

2值unipolar信號系列傳送時의最大同符號連續數는傳送線路特性, 특히中繼器의 timing特性, 直流再生特性 등을考慮하여決定해야 한다.¹⁰⁾

mB1Z符號의符號長($m+1$)은許容最大同符號連續數보다작게選擇해야하며, m 값이작을수록傳送品質은향상되나그下限値는符號化後의傳送速度增加量에따른傳送路條件과傳送시스템許容動作速度에따라정해야한다.

그러므로($m+1$)값, 즉符號長은許容最大同符號連續數와傳送시스템許容信號速度에의해決定된다.

mB1Z符號傳送速度上昇率과同符號連續數와의關係를나타낸그림10으로부터傳送速度가增加할수록同符號連續數抑壓效果가커짐을알수

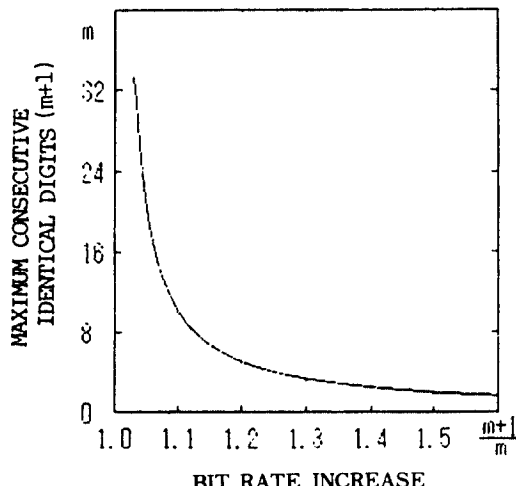


그림10 비트율 증가에 따른 최대동부호연속수의 변화

Maximum consecutive identical digits versus bit rate increase.

있다.

따라서符號長이적어짐에따라單位時間당補助서비스비트插入率이增加하여傳送速度가增加하여, 이에의하여그림11에서보는바와같이redundancy가增加하여傳送시스템efficiency를低下시킨다.

III - 4. mB1Z符號의傳送遲延特性과傳送에러

mB1Z符號의time slot는情報信號系列P의m비트마다補助비트하나씩을插入하므로P의time

slot보다 $\frac{1}{(m+1)}$ 만큼씩줄어진다.補助서비스

비트插入은m비트를單位로하고있으므로情報信號系列m비트만큼時間이遲延된다.이遲延時間은傳送信號周波數를 f_0 라하면 $\frac{(m+1)}{f_0}[\text{sec}]$ 가되며 f_0 가클경우에는무시할수있다.

한편,mB1Z符號構成을위해插入한補助서비스비트를利用하여일부의에러檢出을할수있다.

($m+1$)비트마다插入된補助서비스비트가“mark”일때는傳送中에러가發生한것을意味한다.

差分變換으로傳送路符號를復號化하고있으므로補助서비스비트에의한에러檢出率P는

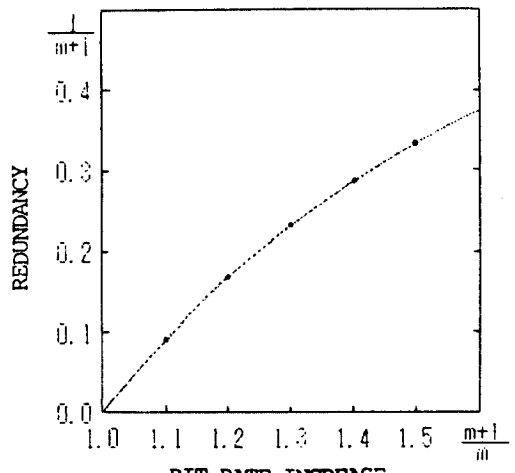


그림11 비트율 증가에 따른 용장도 변화

Redundancy versus bit rate increase.

다음과 같다.^[9]

$$\begin{aligned} P &= \frac{1}{m+1} [P_e \cdot (1 - P_e) + (1 - P_e) \cdot P_e] \\ &= \frac{2}{m+1} P_e \quad (P_e \ll 1) \end{aligned} \quad (24)$$

단, P_e 은 傳送路 에러率이다. 이 에러 檢出回路는 그림12와 같이 差分變換 復號後 情報信號系列에서 補助 서서비스 비트, 즉 $(m+1)$ 번째 비트의 狀態를 調査하도록 構成한다.

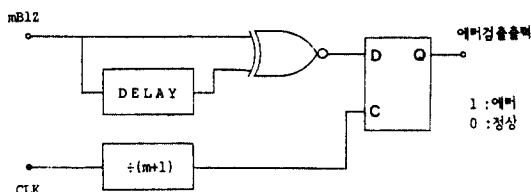


그림12 mB1Z 부호의 에러 검출 회로

Error detecting circuit of mB1Z code.

mB1Z 符號 自體는 이렇게 優秀한 傳送特性을 가지고 있지만 傳送路에서 發生하는 에러는 復號過程에서 差分變換하고 있으므로 式(3)에서 알 수 있는 바와 같이 Q_k 에 에러가 發生하여 \bar{Q}_k 가 되면 S'_k , S'_{k+1} 은

$$S'_k = \bar{Q}_k \odot Q_{(k+1)} = \bar{S}_k \quad (25)$$

$$S'_{(k+1)} = Q_{(k+1)} \odot \bar{Q}_k = \bar{S}_{(k+1)} \quad (26)$$

되어 에러는 두 비트에 波及된다. 이러한 性質은

傳送路 監視, 특히 패리티 檢查를 하는 경우 중요한 문제가 된다.

즉, 傳送路에서 發生한 에러는 受信側에서 2 비트 에러가 되기 때문에 종래의 패리티 檢查로는 傳送路 에러를 檢出할 수 없다.

따라서 이것을 피하기 위해서는, 예를들어 2 系列 패리티 檢查로 한 비트씩 걸러서 패리티 檢查를 하는 方法 등으로 에러 波及을 考慮한 設計를 해야 할 必要가 있다.

이상의 mB1Z 符號의 주요 特性들을 총괄적으로 다른 補助 서서비스 비트 插入 符號들과 比較한 結果를 表 1에 나타내었다.

VI. 結論

本論文에서는 2值 unipolar 信號系列 傳送 시스템에서 가장 큰 問題가 되고 있는 同符號連續數를 効果的으로 抑壓하여 良好한 情報信號系列를 傳送할 수 있는 傳送路符號 mB1Z를 提案하여 다음과 같은 일반적인 特性들을 밝혔다.

1) 最大符號連續數를 $(m+1)$ 비트로 抑壓할 수 있다.

2) 傳送速度 增加率은 $\frac{(m+1)}{m}$ 이다.

3) 기존의 mB1Z 符號方式과 달리, 특히 mB1Z 傳送路符號方式과 m번째 비트와 獨立的으로 “space”를 補助 서서비스 비트로 插入시킴으로써 符·復號器 回路 構成이 매우 간단하다.

4) 高速 디지털 傳送이 可能하다.

5) 마크率이 $\frac{1}{2}$ 이다.

表 1 보조 서서비스 삽입부호 특성 비교

Comparison of line codes inserted on auxiliary service bit.

特性 Code種類	同符號連續數	速度上昇率	Mark rate	回路規模	傳送에러 (한 비트당)
mB1P	$2m$	$\frac{(m+1)}{m} f_0$	$\frac{1}{2}$	×	1
PMSI	$2m+1$	”	”	○	1
mB1C	$m+1$	”	”	△	1
DmB1M	$m+1$	”	”	○	2
mB1Z	$m+1$	”	”	◎	2

6) 電力 スペクト럼에 存在하는 高·低周波 成分들이 抑壓된다.

7) Redundancy가 적어 傳送路 利用率이 向上된다.

8) 傳送信號 周波數을 f_o 라 할 때 遲延時間은 $\frac{(m+1)}{f_o}$ 이며, f_o 가 클 경우에는 무시할 수 있다.

위와 같은 特性들로 보아 mB1Z符號는 2值 unipolar 信號系列 傳送시스템의 傳送路符號를 適合할 것으로 料된다.

參 考 文 獻

- (1) J. M. Griffiths, "Binary code suitable for line transmission", Electronics Letters, Vol. 5, No. 4, pp. 78~81, 1967.
- (2) R. O. Carter, "Low-Disparity coding system", Electronics Letters, Vol. 1, No. 3, pp. 67~68, 1965.
- (3) 重井芳治, "高速PCM", コロナ, pp. 164~176, 1975.
- (4) CCITT. Rec. 722, "Interconnection of digital paths

using different techniques"

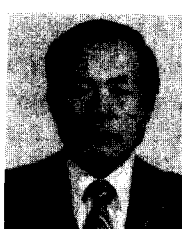
- (5) 加藤, 中川, 伊勝, "高速デジタル 光 傳送方式の傳送路 符號構成について"電子通信學會論文誌, 81/12, Vol. J 64-13, No. 12, pp. 1469~1470, 1981.
- (6) Miroyuki Kasai, et al, "PCM Jitter suppression by scrambling", IEEE. Trans. on Comm. Vol. COM-22, No. 8, pp. 1114~1122, Aug. 1974.
- (7) Yoshitaka takasaki, et al, "Optical pulse formats for fiber optic digital communications" IEEE. Trans. on comm., Vol. COM-24, No. 4, Apr. 1976
- (8) 北見, 米見, 石尾, "100 Mb/s 光傳送方式の傳送路 符號構成について" 信學技報 CS80-173, pp. 7~12, 1980.
- (9) Noriaki Yoshikai, et al, "mB1C code and its performance in an optical communication system", IEEE, Trans. on comm., Vol. COM-32, No. 2, pp. 163~168, Feb. 1984.
- (10) 吉開, 淺村, 加藤, "F=400M方式端局中繼裝置の設計と特性", 研究實用化報告第32卷, 第3號, pp. 597~608, 1983.
- (11) 田吉, 關山, 田超, "高速傳送光符號の検討" 信學技報, CS84-163, pp. 49~56, 1984.
- (12) Miroshi Yasuda and Hiroshi Inose "Direct calculation Method of power spectrum of pulse sequences by means of transition probability matrices" 電子通信學會 論文誌, Vol. 53-A, No. 11, pp. 604~611, 1970.



俞奉善(Bong Sun YOO) 正會員
1960年7月3日生
1984年2月：成均館大學校 工科大學 電子工學科 卒業(工學士)
1986年2月：成均館大學校 大學院 電子工學科 卒業(工學碩士)
1986年3月～現在：成均館大學校 大學院 電子工學科 博士過程 在學中



元東豪(Dong Ho WON) 正會員
1949年9月23日生
1976年2月：成均館大學校 工科大學 電子工學科 卒業(工學士)
1978年2月：成均館大學校 大學院 電子工學科 卒業(工學碩士)
1980年3月：成均館大學校 大學院 電子工學科 博士過程 在學
1978年3月～1980年4月：韓國通信技術研究所 專任研究員
1985年9月～1986年8月：日本 東京工業 大學客員研究員
1982年3月～現在：成均館大學校 副教授



金炳贊(Byung Chan KIM) 正會員
1923年10月23日生
1947. 8 : 國立서울大學校 工學大學 電氣工學科 卒業
1955. 9 ~ 1966. 7 : 國立 慶北大學校 教授
1960 ~ 1962. 12 : Denmark 原子力研究所 電子工學研究室에서 研究
1968. 7 ~ 1969. 6 : Manchester 理工大學(UMIST) 大學院에서 電子工學 研究
1966. 7 ~ 現在 : 成均館大學校 教授
1983. 2 ~ 1987. 2 : 成均館大學校 副總長歷任